

УДК 537.311.322

© 1990

**ВЛИЯНИЕ ЭЛЕКТРОН-ЭЛЕКТРОННОГО ВЗАЙМОДЕЙСТВИЯ  
НА НИЗКОТЕМПЕРАТУРНУЮ ПРОВОДИМОСТЬ  
ОБЛУЧЕННЫХ ИОНАМИ  
ПЛЕНОК ПОЛИИМИДА**

*A. H. Алешин, A. B. Суторов*

Исследованы электрические свойства пленок термостойкого полимера — полииамида, облученного комбинацией ионов  $\text{Ar}^+$  и  $\text{Ga}^+$ . Показано, что проводимость облученного слоя увеличивается более чем на 17 порядков и достигает  $10^3 \text{ Ом}^{-1} \cdot \text{см}^{-1}$ . Установлено, что для облученных слоев полииамида с проводимостью вблизи перехода металл—диэлектрик на диэлектрической стороне перехода для описания проводимости в области низких температур необходимо учитывать электрон-электронное взаимодействие. Определены значения радиуса локализации, диэлектрической постоянной, плотности локализованных состояний.

Ионное облучение является одним из эффективных методов получения высокопроводящих полимерных материалов [1]. В последнее время в ряде работ [2–4] было показано, что при облучении ионами пленок термостойкого полимера — полииамида (ПМ) (Каптон) — на его поверхности образуется проводящий слой, свойства которого зависят от дозы энергии облучения. В работе [4] нами были исследованы свойства пленок ПМ, облученных ионами  $\text{Ar}^+$ ,  $\text{N}^+$ , в которых в области низких температур наблюдался эффект магнитного упорядочения в системе локализованных спинов. Однако характер проводимости облученных слоев ПМ в области температур, где существенно электрон-электронное взаимодействие, в этой работе был исследован недостаточно. Представляло интерес исследовать и влияние облучения различными типами ионов на характер низкотемпературной проводимости слоев ПМ в области проявления электрон-электронного взаимодействия.

В настоящей работе исследовались низкотемпературная проводимость пленок ПМ, облученных ионами  $\text{Ga}^+$ , влияние на нее электрических, магнитных полей.

Объектами исследования являлись пленки ПМ, подвергнутые облучению ионами  $\text{Ga}^+$  с энергией 90 кэВ и дозами  $D = 10^{15} \div 10^{17} \text{ см}^{-2}$ , поверхность ряда образцов перед облучением  $\text{Ga}^+$  бомбардировалась ионами  $\text{Ar}^+$ . Разогрев образцов в процессе облучения не превышал 300 °C. Глубина модифицированного ионами  $\text{Ga}^+$  слоя ПМ оценивалась на основе данных по ионной имплантации полупроводников [5] и для энергии 90 кэВ составляла порядка 500 Å. Контакты формировались напылением золота на облученную поверхность, измерения проводимости велись в планарной геометрии.

### 1. Экспериментальные результаты

Как следует из рис. 1, в результате облучения ПМ комбинацией ионов  $\text{Ar}^+$  и  $\text{Ga}^+$  были получены полимерные слои с проводимостью при комнатной температуре  $\sigma_{300} = [\rho_{300}]^{-1}$ , достигающей  $1.1 \cdot 10^3 \text{ Ом}^{-1} \cdot \text{см}^{-1}$ ,

что превосходит значение  $\sigma_{300}$  для слоев ПМ, полученных простым облучением ионами  $\text{Ar}^+$  ( $\sigma_{300}^{\max} \approx 200 \text{ Ом}^{-1} \cdot \text{см}^{-1}$  [4]) или  $\text{Ga}^+$  ( $\sigma_{300}^{\max} \approx 10 \text{ Ом}^{-1} \cdot \text{см}^{-1}$ ), а также значения  $\sigma_{300}$ , полученные при облучении ПМ другими типами ионов [3].

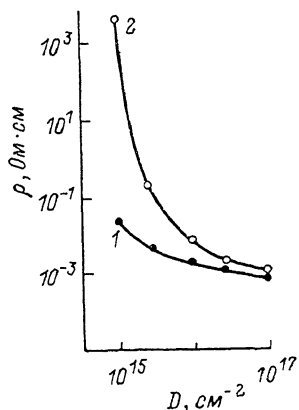


Рис. 1. Дозовая зависимость удельного сопротивления слоев полимида, облученных  $\text{Ga}^+$  (ПМ:  $\text{Ar}^+$ ,  $\text{Ga}^+$ ), измеренная при  $T=300$  (1),  $4.2 \text{ K}$  (2).

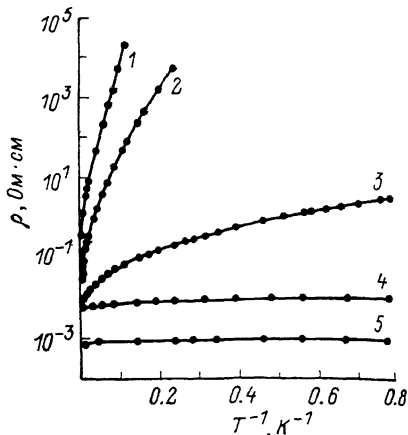


Рис. 2. Температурная зависимость удельного сопротивления слоев ПМ:  $\text{Ar}^+ : \text{Ga}^+$ .

Цифры у кривых — номера образцов. Дозы облучения  $\text{Ga}^+$  ( $\text{см}^{-2}$ ): 1 —  $3 \cdot 10^{16}$ , 2 —  $3 \cdot 10^{15}$ , 3 —  $10^{16}$ , 4 —  $10^{16}$ , 5 —  $10^{17}$ .

Измерения термоэдс показали, что облученные слои имеют проводимость  $n$ -типа. Для проводящих слоев, полученных облучением ПМ ионами  $\text{Ga}^+$ , как и в случае облучения  $\text{Ar}^+$  [4], была характерна высокая стабильность электрических параметров. Изменение проводимости при

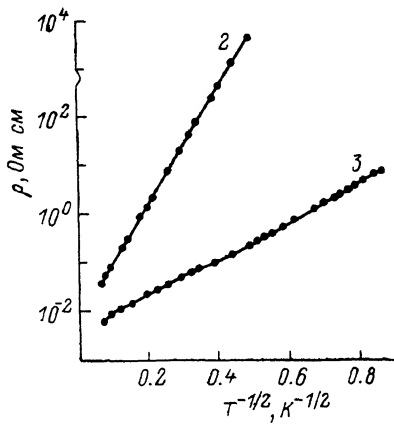


Рис. 3. Зависимость  $\lg \rho$  от  $T^{-1/2}$  для образцов ПМ:  $\text{Ar}^+ : \text{Ga}^+$  № 2 и 3.

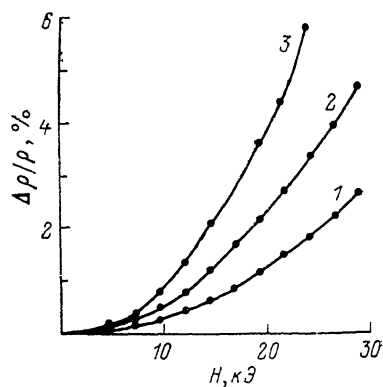


Рис. 4. Магнитосопротивление образца ПМ:  $\text{Ar}^+ : \text{Ga}^+$  № 3 при  $T=4.2$  (1),  $3.0$  (2),  $1.57 \text{ K}$  (3).

комнатной температуре при хранении на воздухе в течение двух месяцев для образцов с максимальной проводимостью не превышало 5—10 %.

На рис. 2 приведены результаты исследования температурной зависимости удельного сопротивления  $\rho(T) = \sigma(T)^{-1}$  пленок ПМ, облученных  $\text{Ga}^+$  (ПМ:  $\text{Ga}^+$ ). Видно, что на диэлектрической стороне перехода металл—диэлектрик (ПМД) проводимость имеет активационный характер и описывается выражением

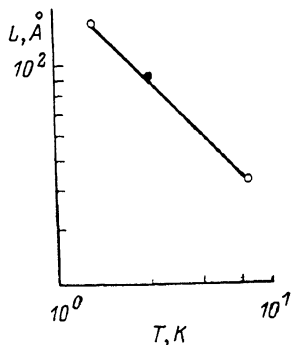
$$\sigma(T) = \sigma_0 \exp [-(T_0/T)^m]. \quad (1)$$

Для образца, полученного облучением  $\text{Ga}^+$  исходного ПМ ( $D=3 \times 10^{16} \text{ см}^{-2}$ ), наблюдается проводимость с постоянной энергией активации (рис. 2, 1), описываемая формулой (1) с  $m=1$ ,  $T_0=\epsilon_0$ . Резкая активационная зависимость для образца № 1 свидетельствует о слабой эффективности такого «легирования» по сравнению, например, с облучением  $\text{Ar}^+$ .

В случае пленок ПМ:  $\text{Ga}^+$ , предварительно облученных  $\text{Ar}^+$  (ПМ:  $\text{Ar}^+ : \text{Ga}^+$ ), характер  $\sigma(T)$  существенно меняется: в области низких температур  $T < 10 \text{ K}$  в таких образцах наблюдается  $\sigma(T)$  с переменной энергией активации, описываемая законом (1) с  $m=0.5$  (рис. 3). Анализ температурной зависимости безразмерной энергии активации  $\epsilon(T)/kT$  подтверждает этот вывод (для образцов № 2, 3 при  $T < 10 \text{ K}$  в области, где  $\epsilon(T) > kT$ ,  $m \approx 0.5$ ).

В исследуемых пленках ПМ:  $\text{Ar}^+ : \text{Ga}^+$  в области низких температур, где выполняется закон (1) с  $m=0.5$ , наблюдается положительное магнито-сопротивление (ПМС). Зависимость ПМС от магнитного поля имеет квадратичный характер (рис. 4) и хорошо описывается выражением  $\ln [\rho(H)/\rho(0)] \sim H^2$ .

Анализ низкотемпературной проводимости облученных слоев полиимида ПМ:  $\text{Ar}^+ : \text{Ga}^+$  в промежуточных (до 100 В/см) электрических полях показал, что в области неомичности  $\sigma(E, T)$  может быть описана выражением  $\ln [\sigma(E)/\sigma(0)] \sim eEL/kT$ , где величина  $L$ , имеющая размерность длины, растет с понижением температуры как  $L \sim T^{-1}$  (рис. 5).



## 2. Обсуждение

Полученные экспериментальные данные позволяют сделать вывод, что перенос носителей заряда в пленках ПМ:  $\text{Ar}^+ : \text{Ga}^+$  на диэлектрической стороне ПМД осуществляется посредством прыжков электронов по локализованным состояниям вблизи уровня Ферми при наличии в спектре плотности состояний параболической квазищели, обусловленной электрон-электронным, кулоновским взаимодействием [6]. При этом парамагнитные центры, образующиеся при облучении пленки ПМ ионами  $\text{Ar}^+$  и приводящие, как было показано в работе [4], при низких температурах к эффекту магнитного упорядочения в системе локализованных спинов, в значительной степени нейтрализуются и рекомбинируют при облучении той же пленки ионами  $\text{Ga}^+$ . Это позволило наблюдать кулоновскую квазищель в более широком по сравнению с [4] интервале температур.

В рамках этой модели можно определить ряд параметров пленок ПМ:  $\text{Ar}^+ : \text{Ga}^+$ , такие как  $a$  — радиус локализации,  $\chi$  — диэлектрическая постоянная,  $g_0$  — плотность локализованных состояний вне щели.

Как следует из теории [6], в области моттовской прыжковой проводимости с переменной энергией активации при учете электрон-электронного взаимодействия параметр  $T_0$  в законе (1) с  $m=0.5$  имеет вид

$$T_0 = (1/k) (\beta e^2 / \pi a), \quad (2)$$

а магнито-сопротивление описывается выражением [7]

$$\ln [\rho(H)/\rho(0)] = t (a/\lambda)^4 (T_0/T)^{3/2}, \quad (3)$$

где  $t=0.015$ ,  $\lambda=(c\hbar/eH)^{1/2}$  — магнитная длина. Это позволило, как в случае кристаллических [8] и аморфных [9] полупроводников, оценить  $a$  и  $\chi$  для пленок ПМ:  $\text{Ar}^+ : \text{Ga}^+$  вблизи ПМД, которые для образца № 3 составили 107 Å и 98 соответственно.

Рис. 5. Температурная зависимость корреляционной длины для образца ПМ:  $\text{Ar}^+ : \text{Ga}^+$  № 3.

Аналогично [8, 9] можно оценить и величину квазищели  $\Delta$ , обусловленную электрон-электронным взаимодействием, а также плотность локализованных состояний вне щели

$$\Delta = \frac{k}{2} (T_0 T^*)^{1/2}, \quad g_0 = \frac{k^2}{16} \frac{\pi^3}{e^6} (T_0 T^*), \quad (4), (5)$$

где  $T^*$  — температура начала выполнения закона (1) с  $m=0.5$ . Эти параметры для образца № 3 ( $T_0=47$ ,  $T^*=8.5$  К) составили  $\Delta=10$  К (0.859 мэВ) и  $g_0=5.85 \cdot 10^{19}$  эВ<sup>-1</sup>·см<sup>-3</sup>.

Характер температурной зависимости корреляционной длины  $L(T)$ , определенный из исследования  $\sigma(E, T)$ , также указывает на влияние электрон-электронного взаимодействия на низкотемпературную проводимость пленок ПМ:  $\text{Ar}^+ : \text{Ga}^+$  в области промежуточных электрических полей [10], а величина  $L$ , составившая при 1.33 К 138 Å, коррелирует с данными, полученными из исследования  $\sigma(T)$  и ПМС.

Полученные значения  $a$  для ПМ:  $\text{Ar}^+ : \text{Ga}^+$  вблизи ПМД значительно превышают величину  $a$ , найденную для пленок ПМ вдали от ПМД из дозовой зависимости проводимости [4]. Такое увеличение объясняется, согласно теории [11], расходностью радиуса локализации при приближении к ПМД вследствие электрон-электронного взаимодействия.

1. Облучение пленок ПМ комбинацией ионов  $\text{Ar}^+$  и  $\text{Ga}^+$  дает возможность получить слои с более высокой проводимостью по сравнению с простым облучением  $\text{Ar}^+$  или  $\text{Ga}^+$ .

2. В облученных слоях ПМ:  $\text{Ar}^+ : \text{Ga}^+$  наблюдается низкотемпературная проводимость вида  $\ln \sigma \sim T^{-1}$ : в отличие от пленок ПМ:  $\text{Ar}^+$  [4] и ПМ:  $\text{Ga}^+$ , в которых наблюдается переход к постоянной энергии активации.

3. Низкотемпературные свойства слоев ПМ:  $\text{Ar}^+ : \text{Ga}^+$ , в том числе и в электрических, и магнитных полях, аналогичны низкотемпературной проводимости как кристаллических [8], так и аморфных [9, 10] полупроводников и определяются эффектами электрон-электронного взаимодействия.

В заключение авторы выражают благодарность И. С. Шлимаку за полезное обсуждение результатов.

#### Список литературы

- [1] Venkatesan T., Forrest S. R., Kaplan M. L., Murray C. A., Schmidt R. H., Wilkens B. I. // J. Appl. Phys. 1983. V. 54. N 6. P. 3150—3153.
- [2] Hioki T., Noda S., Sugiura M., Kakeno M., Yamada K., Kawamoto J. // Appl. Phys. Lett. 1983. V. 43. N 1. P. 30—32.
- [3] Davenas J., Boiteux G., Xu X. L., Adem E. // Nucl. Instr. a. Methods Phys. Res. 1988. V. B 33. N 1—4. P. 136—141.
- [4] Алешин А. Н., Грибанов А. В., Добродумов А. В., Суворов А. В., Шлимак И. С. // ФТП. 1989. Т. 31. № 1. С. 12—18.
- [5] Jonson W. S., Gibbons J. F. Projected Range Statistics in Semiconductors. Stanford University, 1969. 217 р.
- [6] Шкловский Б. И., Эфрос А. Л. Электронные свойства легированных полупроводников. М., 1979. 416 с.
- [7] Шлимак И. С., Ионов А. Н., Шкловский Б. И. // ФТП. 1983. Т. 17. № 3. С. 503—506.
- [8] Ионов А. Н., Shlimak I. S., Matveev M. N. // Sol. St. Comm. 1983. V. 47. N 10. P. 763—766.
- [9] Алешин А. Н., Двуреченский А. В., Ионов А. Н., Рязанцев И. А., Шлимак И. С. // ФТП. 1985. Т. 19. № 7. С. 1240—1244.
- [10] Алешин А. Н., Шлимак И. С. // ФТП. 1987. Т. 21. № 3. С. 466—471.
- [11] McMillan W. L. // Phys. Rev. 1981. V. B 24. N 5. P. 2733—2743.